

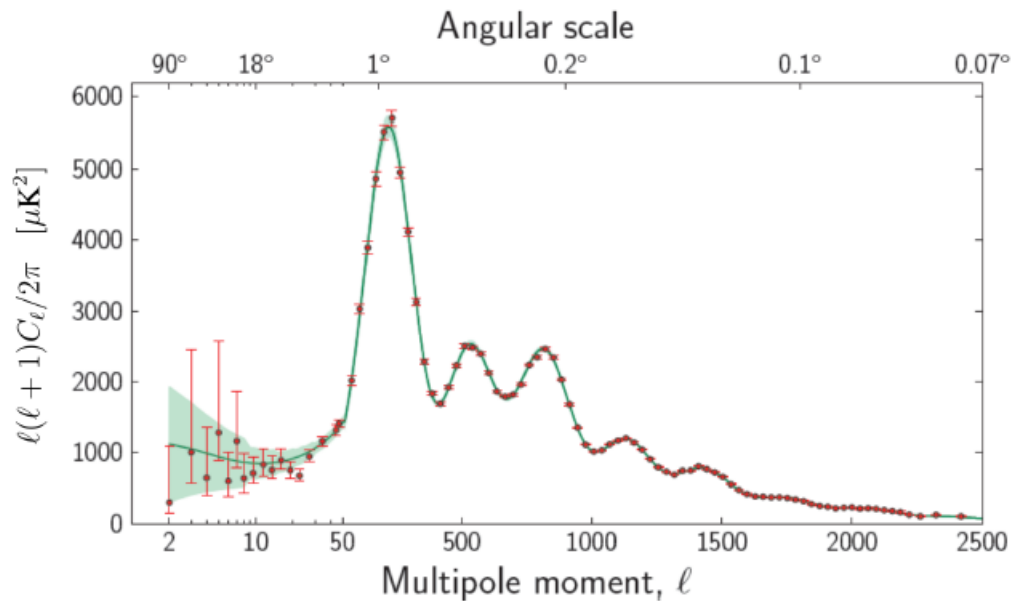
Estudio de la dependencia del espectro angular de temperatura del CMB con los parámetros cosmológicos.

El **objetivo** de la práctica es estudiar la dependencia del espectro angular de fluctuaciones de temperatura C_ℓ con los parámetros:

1. h : El parámetro de Hubble normalizado.
2. ω_b : El parámetro de densidad bariónica.
3. n_s : Parámetro que define la potencia de la función del espectro de potencias:

$$P_R(k) = A_s \left(\frac{k}{k_0} \right)^{n_s - 1}$$

donde $A_s = 2,20 \times 10^{-9}$ y $k_0 = 0,05 \text{ Mpc}^{-1}$.



Para ello vamos a usar los siguientes paquetes de *Python* y todas las funciones que definamos las haremos depender de estos parámetros.

```
1 import numpy as np
2 import pandas as pd
3 import scipy as sp
4 import scipy.integrate as integrate
5 import matplotlib.pyplot as plt
```

Parámetros y funciones a usar.

En el guión de la práctica hemos recibido un listado y guía para construir una aproximación a la función C_l solamente valida para $l \gg 100$, el cual solo tiene en cuenta el efecto *Sachs-Wolfe* ignorando las contribuciones Doppler y el efecto *Sachs-Wolfe integrado*.

$$C_l(z) \simeq 4\pi \frac{9}{25} \int P_R(k) \left[-R(z_{dec})T(k/k_{eq}) + \frac{5}{3} \cos(k \cdot r_s) e^{-k^2/k_D^2} \right]^2 j_l^2(k(\eta_0 - \eta_{dec})) \frac{dk}{k}$$

Las funciones y parámetros que forman parte de dicha aproximación pasarán a ser definidas a continuación. Primero definimos la constante de Hubble normalizada $h = 0,67 \text{ km/s}^{-1}$ y su versión sin normalizar $H_0 = h/2998 \text{ Mpc}^{-1}$. Los parámetros que indican la densidad de energía de bariones ω_b , de radiación ω_r , materia ω_m y de energía del vacío ω_Λ están definidos como:

$$\omega_m = 0,14 \quad ; \quad \omega_b = 0,022 \quad ; \quad \omega_r = \left(1 + \frac{7}{8} N_{eff} \left(\frac{4}{11} \right)^{4/3} \right) \omega_\gamma = 4,17 \times 10^{-5}$$

donde N_{eff} es el número efectivos de neutrinos y ω_γ la densidad de energía de neutrinos. Además ω_Λ la podemos definir como una función de h :

$$\omega_\Lambda(h) = h^2 - \omega_m - \omega_r$$

```
1 h=0.67
2 w_b=0.022
3 w_m=0.14
4 w_r=4.17*10**(-5)
5 w_lamb=lambda t: t**2-w_m-w_r
6 H=lambda t: t/2998
7 H_0=H(h)
```

Podemos definir la velocidad del sonido en función del redshift z y de la densidad de energía de materia barionica ω_b como:

$$c_s^2 = \frac{1}{3} \frac{1}{1 + R(z, \omega_b)} \quad \text{donde} \quad R(z, \omega_b) = \frac{3,04 \times 10^4}{1 + z} \omega_b$$

Para hemos usado las funciones lambdas y hemos marcado por defecto de ω_b el estipulado más arriba.

```
1 R=lambda z,wb=w_b:wb*(3.04*10**4)/(1+z)
2 c_s=lambda z,wb=w_b:np.sqrt((1/3)/(1+R(z,wb)))
```

Para definir el horizonte del sonido en el momento del desacople $z_{dec} = 1090,3$ usamos la aproximación a un universo plano, la definición de la ecuación del movimiento usando que $\omega_\alpha = h^2 \Omega_\alpha$ con $\alpha = r, m, \Lambda$:

$$H(z)^2 = H_0^2 \frac{[(1+z)^3 \omega_m + (1+z)^4 \omega_r + \omega_\Lambda]}{h^2} = H_0^2 \cdot E(z)^2$$

Para definir el radio del horizonte de sonido trabajamos con coordenadas de comovimiento sabiendo que $dr/dt = a \cdot dx/dt = c_s(t)$, donde $a(t)$ es el factor de escala. Usando que $dt = da/(a \cdot H(a)) = da/(a \cdot H_0 E(a))$ obtenemos si integramos y usamos que $a = (1+z)^{-1}$

$$r_s = \int_0^{a_{dec}} \frac{c_s(a)}{a^2 H_0 E(a)} da = H_0^{-1} \int_{z_{dec}}^{\infty} \frac{c_s(z)}{E(z)} dz$$

```
1 z_dec=1090.3
2 def E(z,hf=h):
3     wl=w_lamb(hf)
4     partel=w_m*np.power((1+z),3) + w_r*np.power((1+z),4) + wl
```

```

5     return (np.sqrt(partel)/hf)
6
7     r_s=lambda h_p=h,wb=w_b: integrate.quad(lambda z: c_s(z,wb)/E(z,hf=h_p),z_dec,np.inf)
    [0]/H(h_p)

```

Para definir el tiempo conforme desde el desacoplo $\eta_0 - \eta_{dec}$ usamos un desarrollo parecido al anterior:

$$d_A^c(z_{dec}) = \eta_0 - \eta_{dec} = \int_{t_0}^{t_{dec}} \frac{dt}{a} = \int_{a_0}^{a_{dec}} \frac{da}{a^2 H} = H_0^{-1} \int_0^{z_{dec}} \frac{1}{E(z)} dz$$

```

1     d_A = lambda h_p=h: integrate.quad(lambda z: 1/E(z,h_p),0,z_dec)[0]/H(h)

```

Definimos la función de transferencia:

$$T(x) = \frac{\ln(1 + 0.171x)}{0.171x} [1 + 0.284x + 1.18x^2 + 0.399x^3 + 0.49x^4]^{-0.25}$$

y las escalas de igualdad $k_{eq} = 0.073\omega_m \text{ Mpc}^{-1}$ y de Silk $k_D \simeq 0.14 \text{ Mpc}^{-1}$. Recordar que la relación entre escala y multipolos viene dada por $l \simeq kd_A^c(z_{dec})$.

```

1     def T(x):
2         partel=np.log(1+0.171*x)/(0.171*x)
3         parte2=(1 + 0.284*x + np.power(1.18*x,2) + np.power(0.399*x,3) + np.power(0.49*x,4)
4             ) ** (-0.25)
5         return partel*parte2
6     k_eq=0.073*w_m
7     k_d=0.14

```

Por último definimos la función del espectro de potencias con sus parámetros $A_s = 2.20 \times 10^{-9}$, $k_0 = 0.05 \text{ Mpc}^{-1}$ y $n_s = 0.97$.

$$P_R(k) = A_s \left(\frac{k}{k_0} \right)^{n_s-1}$$

y la función de Bessel esférica para l usando la aproximación:

$$j_l^2(x) = \begin{cases} [4x^2(x^2 - l^2)]^{-1/2} & x > l \\ 0 & x < l \end{cases}$$

```

1     ns=0.97
2     A_s=2.2*10**(-9)
3     k_0=0.05
4     P_R=lambda k,n=ns: A_s*((k/k_0)**(n-1))
5     def func_bessel(x,l):
6         if x>l:
7             return 0.5/(x*np.sqrt(np.power(x,2)-np.power(l,2)))
8         else:
9             return 0

```

Función del espectro angular de temperaturas del CMB

Una vez definido todas las partes de C_l pasemos a definirla también a esta:

$$C_l(z) \simeq 4\pi \frac{9}{25} \int P_R(k) \left[-R(z_{dec})T(k/k_{eq}) + \frac{5}{3} \cos(k \cdot r_s) e^{-k^2/k_D^2} \right]^2 j_l^2(k(\eta_0 - \eta_{dec})) \frac{dk}{k}$$

```

1 def c_l_funcion(l,Rz=R(z_dec),dA=d_A(),rs=r_s(),n_s=ns):
2     def func_int(k):
3         const=4*np.pi*9/25
4         parte1=P_R(k,n_s)
5         parte2=np.power(-Rz*T(k/k_eq)+5/3*np.cos(k*rs)*np.exp(-(k/k_d)**2),2)
6         parte3=func_bessel(k*dA,l)/k
7         return parte1*parte2*parte3
8
9     limite_sup=4000/(dA)
10    limite_inf=1/(dA)
11    resultado=integrate.quad(func_int,limite_inf,limite_sup)[0]
12    constante=4*np.pi*9/25
13    return resultado*constante

```

Definido todas las funciones y descrito el comportamiento de las anisotropías de temperatura del CMB pasemos a resolver los ejercicios planteados en la práctica.

1. Ejercicio 1

Fijando los valores de los parámetros a los de la cosmología estándar: $h = 0,67$; $\omega_b = 0,022$; $\omega_m = 0,14$; $n_s = 0,97$:

1. Calcular $R(z_{dec})$, r_s y $d_A^c(z_{dec})$.
2. Representar gráficamente $l(l+1)c_l/(2\pi)$ para $l \in [100, 1500]$.

1.1. Sacar los valores de $R(z_{dec})$, d_A^c y r_s

Obtenemos los valores de la **Tabla 1**

```

1 dic={'R(z_{dec})': [R(z_dec)], "$d_A^c(z_{dec})$": [d_A()], "$r_s$": [r_s()]}
2 tabla=pd.DataFrame(dic)
3 tabla

```

$R(z_{dec})$	$d_A^c(z_{dec})$	r_s
0.612847	14002.47092	145.327004

Cuadro 1: Valores de $R(z_{dec})$, $d_A^c(z_{dec})$ y r_s

1.2. Representar gráficamente el espectro angular de temperaturas del CMB

Vamos a recorrer los valores del intervalo $[100, 1500]$ y guardaremos los C_l en un vector para posteriormente representarlos gráficamente en la **Figura 1**.

```

1 l_minimo=100
2 l_maximo=2500
3 l_array=np.array(range(l_minimo,l_maximo))
4 longitud=len(l_array)
5 cl=np.zeros(longitud)
6 i=0
7 for l in l_array:
8     valor=c_l_funcion(l,R(z_dec))

```

```

9     cl[i]=valor*1*(l+1)/(2*np.pi)
10     i+=1
11
12 plt.figure(figsize=(10,7))
13 plt.title("Espectro Angular de Temperaturas", fontsize=20)
14 plt.ylabel("$l(l+1)C_l/2\pi$ [$\mu K^2$]", fontsize=16)
15 plt.xlabel("Multipole moment, $l$", fontsize=16)
16 plt.plot(l_array,cl*10**12)
17 plt.savefig("Espec.png")
18 plt.show()
19 plt.close()

```

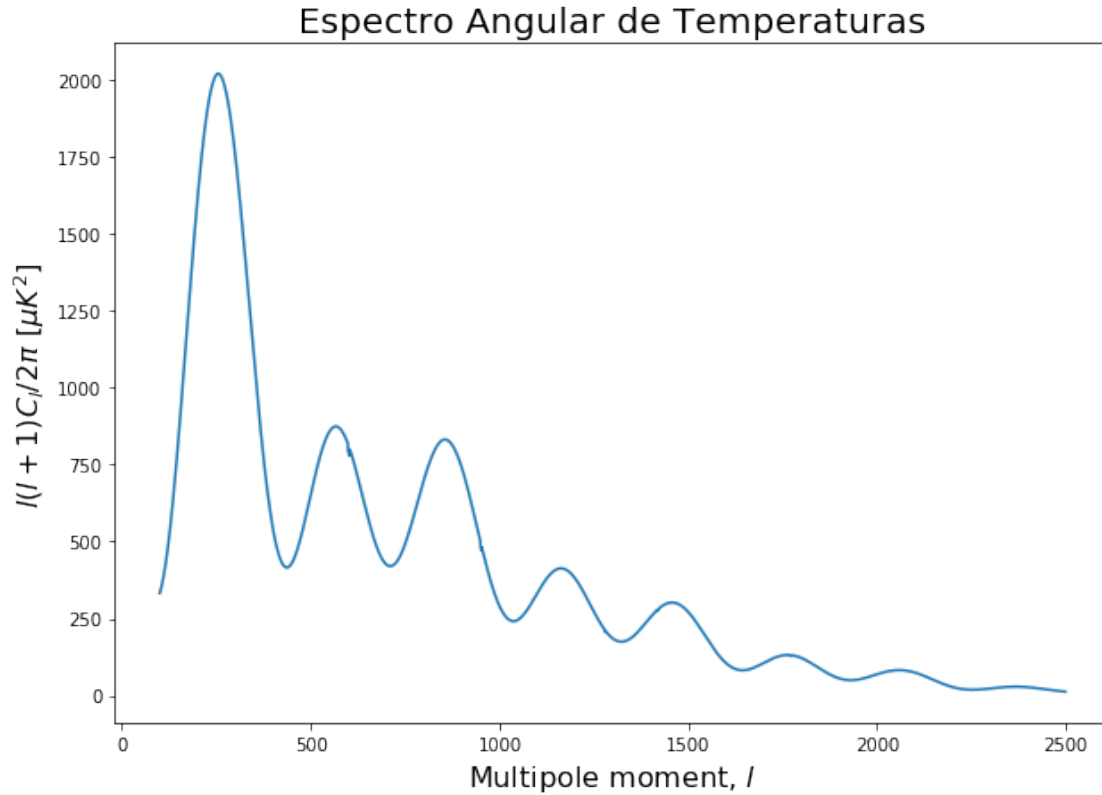


Figura 1: Espectro angular de Temperaturas del CMB.

2. Ejercicio 2

Estudiar la dependencia del espectro en los parámetros $R(z_{dec})$, r_s y $d_A^c(z_{dec})$ variando cada uno de ellos independientemente.

Vamos a definir cuatro tipos de coeficientes de variación $\sigma = 0,5, 1, 1,5, 2$ y veremos cuales son los efectos de las variaciones de $R(z_{dec}) \cdot \sigma$, $r_s \cdot \sigma$ y $d_A^c(z_{dec}) \cdot \sigma$ en el C_l . Primero empezaremos por $R(z_{dec})$ en la figura 2.

```

1 variacion=np.array([1,0.5,1.5,2])
2 paso=len(variacion)
3

```

```

4 plt.figure(figsize=(10,7))
5 dA=d_A()
6 rs=r_s()
7 for j in range(0,paso):
8     sig=variacion[j]
9     l_minimo=100
10    l_maximo=1501
11    l_array=np.array(range(l_minimo,l_maximo))
12    longitud=len(l_array)
13    cl=np.zeros(longitud)
14    i=0
15    for l in l_array:
16        valor=c_l_funcion(l,R(z_dec)*sig,dA,rs)
17        cl[i]=valor*l*(l+1)/(2*np.pi)
18        i+=1
19
20    plt.plot(l_array,cl*10**12,label="$R_z=R(z_d)*{:.2f}$".format(sig))
21
22    plt.title("Espectro Angular de Temperaturas, Variacion en $R(z_{dec})$", fontsize=20)
23    plt.ylabel("$l(l+1)C_l/2\pi$ [$\mu K^2$]", fontsize=16)
24    plt.xlabel("Multipole moment, $l$", fontsize=16)
25    plt.legend()
26    plt.savefig("Espec_R_z.png")
27    plt.show()
28    plt.close()

```

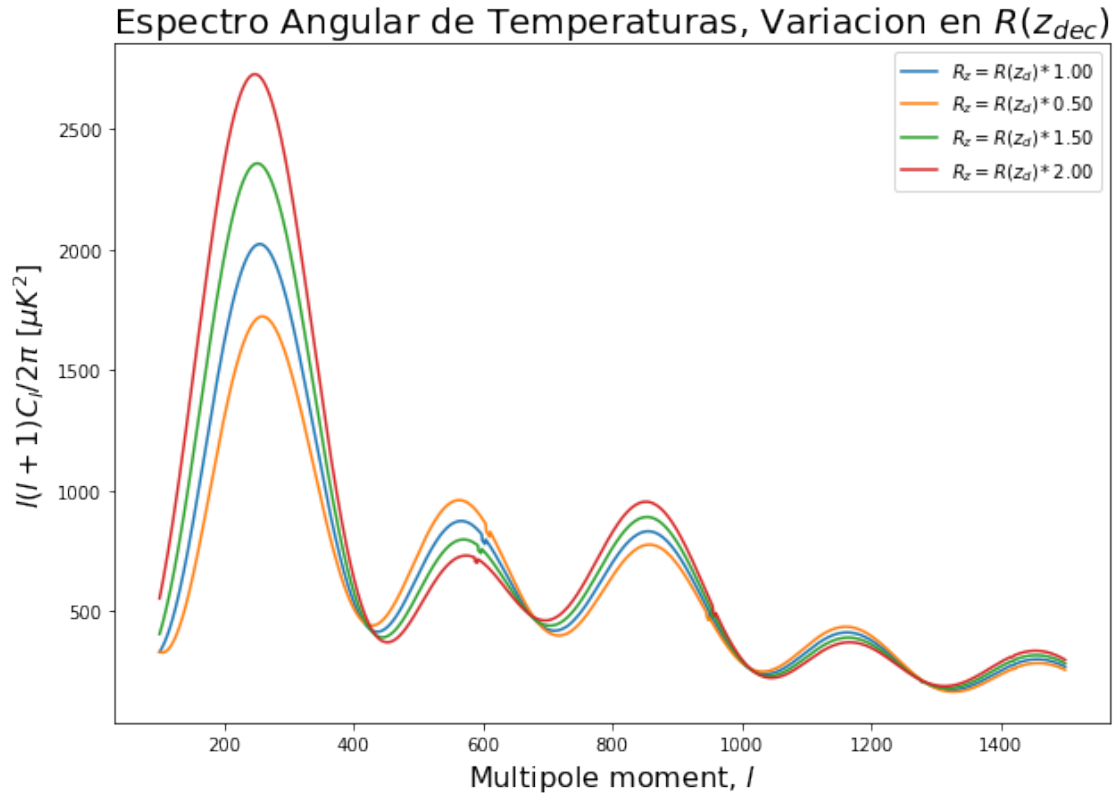


Figura 2: Espectro angular de Temperaturas del CMB variandp $R(z_{dec})$.

Observamos que los picos no se mueven de lugar, sino que solo suben y bajan en su magnitud. Es de resaltar que en los picos pares la proporcionalidad entre el valor de $R(z_{dec})$ y la magnitud de los picos es inversa, es decir, cuanto menor es el valor de $R(z_{dec})$ mayor es la magnitud del pico, mientras que para los picos impares ocurre el efecto contrario.

Calculamos las variaciones para d_A en la **Figura 3**.

```

1  variacion=np.array([1,0.5,1.5,2])
2  paso=len(variacion)
3  plt.figure(figsize=(10,7))
4  Rz=R(z_dec)
5  rs=r_s()
6  for j in range(0,paso):
7      sig=variacion[j]
8      l_minimo=100
9      l_maximo=1501
10     l_array=np.array(range(l_minimo,l_maximo))
11     longitud=len(l_array)
12     cl=np.zeros(longitud)
13     i=0
14     for l in l_array:
15         valor=c_l_funcion(l,Rz,dA=d_A()*sig,rs=rs)
16         cl[i]=valor*l*(l+1)/(2*np.pi)
17         i+=1
18
19     plt.plot(l_array,cl*10**12,label="$d=d_A^c(z)*{:.2f}$".format(sig))
20
21 plt.title("Espectro Angular de Temperaturas, Variacion en $d_A^c(z_{dec})$", fontsize
22          =20)
23 plt.ylabel("$l(l+1)C_{l/2}\pi \ [\mu K^2]$", fontsize=16)
24 plt.xlabel("Multipole moment, $l$", fontsize=16)
25 plt.legend()
26 plt.savefig("Espec_d_a.png")
27 plt.show()
28 plt.close()

```

Para este caso observamos que los picos se desplazan de izquierda a derecha en función de si son más pequeños o más grandes respectivamente. Con respecto a la magnitud de los picos se observa un ligero crecimiento de magnitud según aumenta el valor de $d_A^c(z_{dec})$.

Calculamos las variaciones para r_s en la **Figura 4**.

```

1  variacion=np.array([1,0.5,1.5,2])
2  paso=len(variacion)
3  plt.figure(figsize=(10,7))
4  Rz=R(z_dec)
5  dA=d_A()
6  for j in range(0,paso):
7      sig=variacion[j]
8      l_minimo=100
9      l_maximo=1501
10     l_array=np.array(range(l_minimo,l_maximo))
11     longitud=len(l_array)
12     cl=np.zeros(longitud)
13     i=0
14     for l in l_array:
15         valor=c_l_funcion(l,Rz,dA,rs=r_s()*sig)
16         cl[i]=valor*l*(l+1)/(2*np.pi)

```

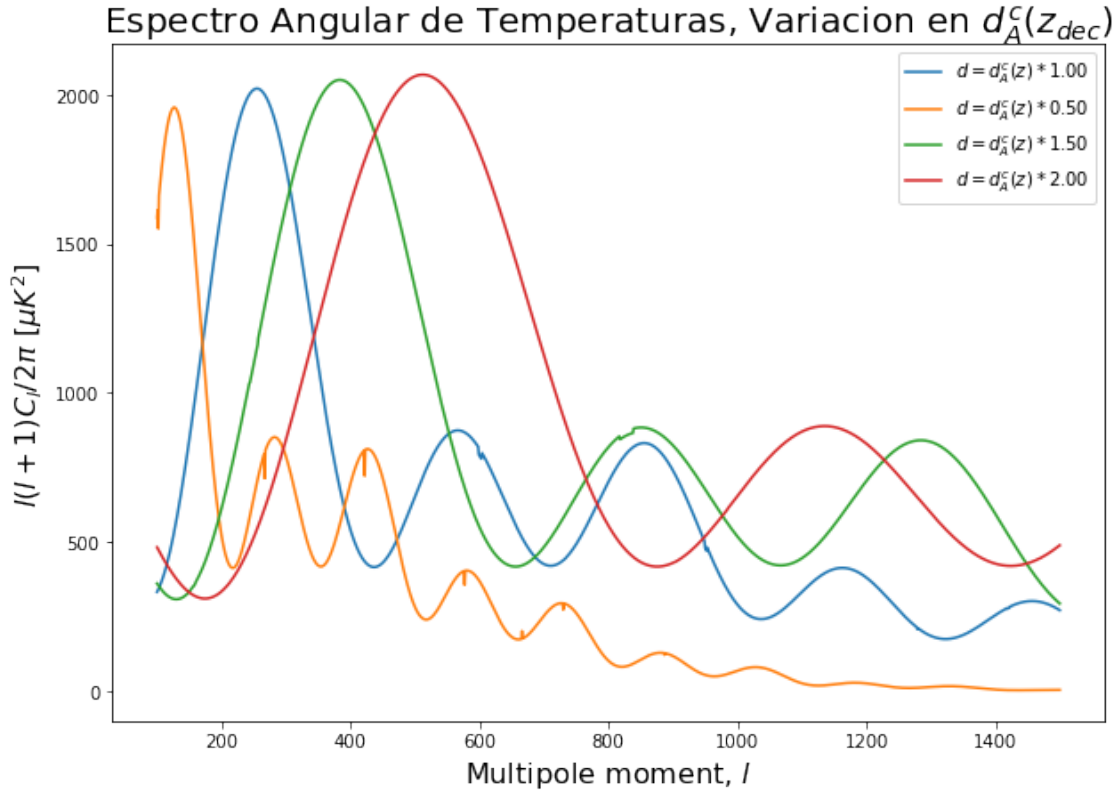


Figura 3: Espectro angular de Temperaturas del CMB variando $d_A^c(z_{dec})$.

```

17         i+=1
18
19         plt.plot(l_array, cl*10**12, label="$r=r_s*{: .2f}$".format(sig))
20
21     plt.title("Espectro Angular de Temperaturas, Variacion en $r_s$", fontsize=20)
22     plt.ylabel("$l(l+1)C_l/2\pi$ [\mu K^2]", fontsize=16)
23     plt.xlabel("Multipole moment, $l$", fontsize=16)
24     plt.legend()
25     plt.savefig("Espec_r_s.png")
26     plt.show()
27     plt.close()

```

Para las variaciones del horizonte del sonido se ve que existe un desplazamiento de izquierda a derecha según el valor de r_s crece o decrece respectivamente y un aumento en la magnitud de los picos con respecto al crecimiento del valor r_s .

3. Ejercicio 3

Estudiar la dependencia del espectro con h . Considerar, aparte del valor estándar, $h = 0,5$ y $h = 0,8$ con el resto de parámetros fijos. Comprobar que el valor de h no afecta a la altura de los picos pero sí a su posición. Explicar este efecto en términos de lo visto en la cuestión 2.

De la misma manera que en el ejercicio 2 y dado que hemos definido las funciones que conforman el C_l en función de h vamos a visualizar los cambios de que sufre las anisotropías de temperatura del CMB cuando el valor de h cambia.

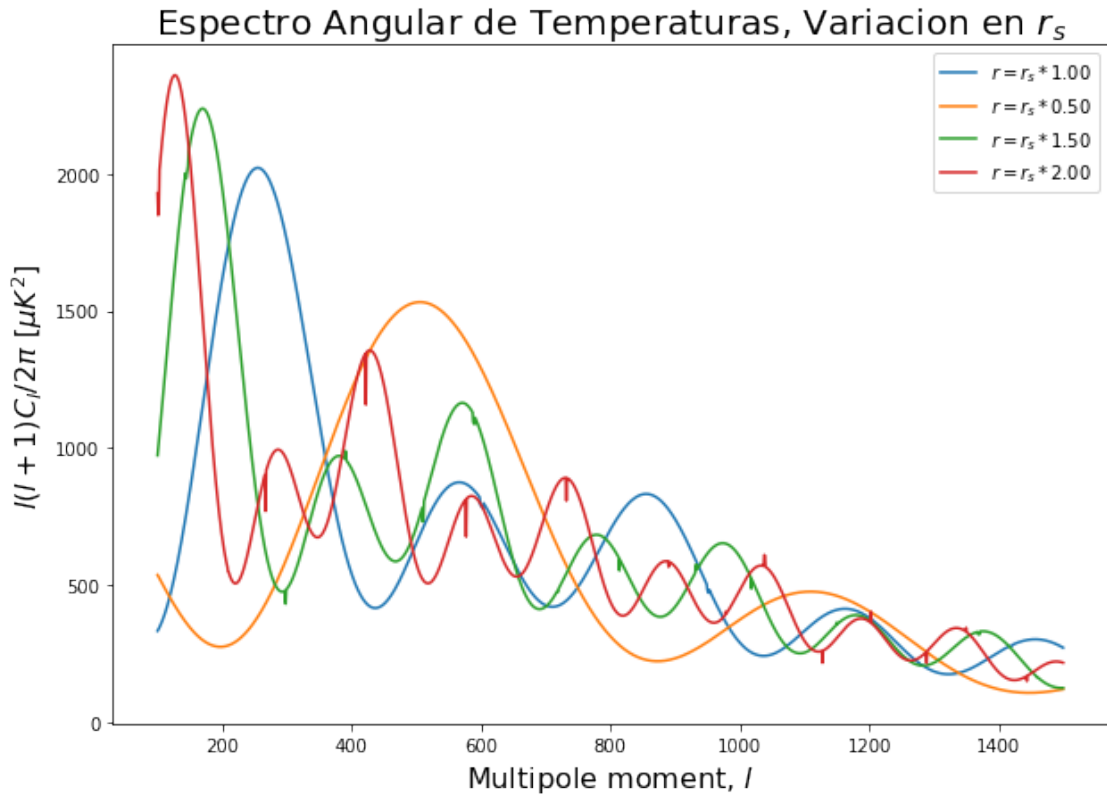


Figura 4: Espectro angular de Temperaturas del CMB variando r_s .

(Figura 5)

```

1  paso=3
2  h_array=np.array([h,0.5,0.8])
3
4  plt.figure(figsize=(10,7))
5  Rz=R(z_dec)
6  for j in range(0,paso):
7      h_l=h_array[j]
8      l_minimo=100
9      l_maximo=1501
10     l_array=np.array(range(l_minimo,l_maximo))
11     longitud=len(l_array)
12     cl=np.zeros(longitud)
13     i=0
14
15     for l in l_array:
16         valor=c_l_funcion(l,Rz,d_A(h_p=h_l),r_s(h_p=h_l))
17         cl[i]=valor*l*(l+1)/(2*np.pi)
18         i+=1
19
20     plt.plot(l_array,cl*10**12,label="$h={:.2f}$".format(h_array[j]))
21
22 plt.title("Espectro Angular de Temperaturas, Variacion en $h$", fontsize=20)
23 plt.ylabel("$l(l+1)C_l/2\pi$ [\mu K^2]", fontsize=16)

```

```

24 plt.xlabel("Multipole moment, $l$", fontsize=16)
25 plt.legend()
26 plt.savefig("Espec_h.png")
27 plt.show()
28 plt.close()

```

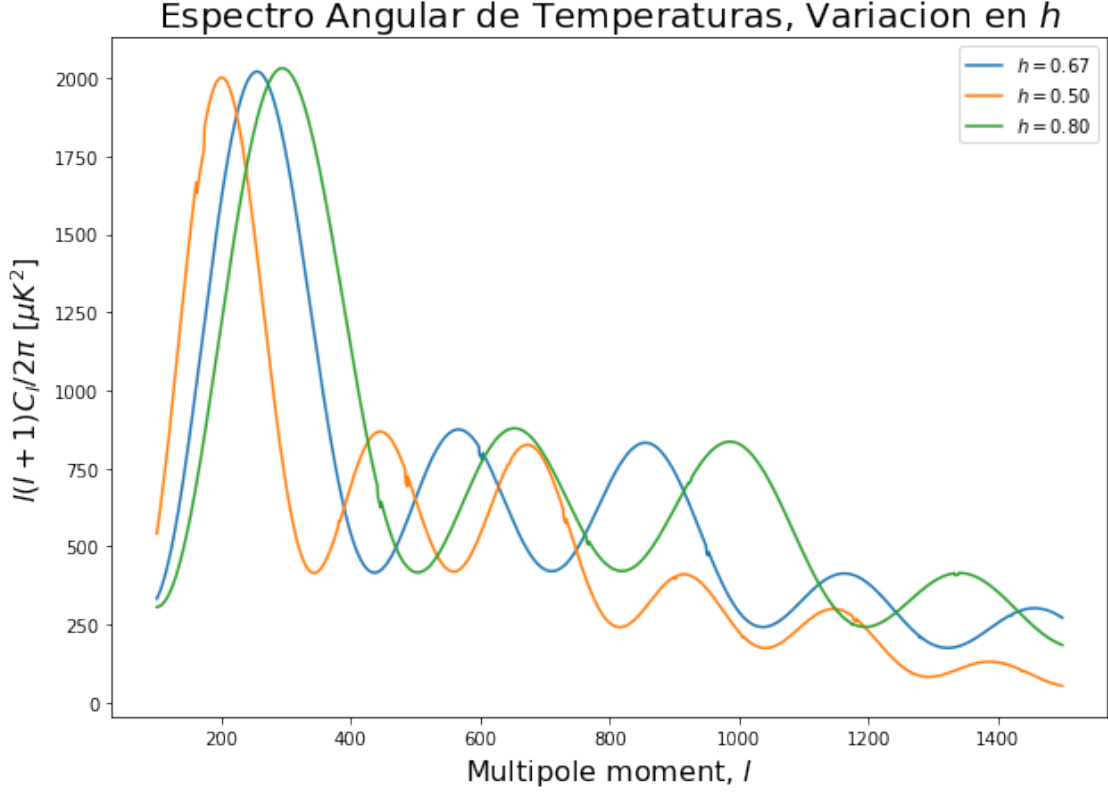


Figura 5: Espectro angular de Temperaturas del CMB variando h

Observamos las variaciones muy similares a cuando solo modificabamos $d_A^c(z_{dec})$ en el ejercicio 2. Esto ocurre por la función $E(z)$ definida como:

$$E(z, h)^2 = \frac{(1+z)^3 \omega_m + (1+z)^4 \omega_r + h^2 - \omega_m - \omega_r}{h^2} = \frac{[(1+z)^3 - 1] \omega_m + [(1+z)^4 - 1] \omega_r + h^2}{h^2}$$

sustituyendo en las ecuaciones del horizonte de sonido y del tiempo conforme:

$$r_s = 2998 \int_{z_{dec}}^{\infty} \frac{c_s(z)}{([(1+z)^3 - 1] \omega_m + [(1+z)^4 - 1] \omega_r + h^2)^{1/2}} dz$$

$$d_A^c(z_{dec}) = 2998 \int_0^{z_{dec}} \frac{dz}{([(1+z)^3 - 1] \omega_m + [(1+z)^4 - 1] \omega_r + h^2)^{1/2}}$$

Vemos que la dependencia en h tanto para el horizonte de sonido como para la distancia del tiempo conforme es la misma sin embargo parece que solo se nota las variaciones en $d_A^c(z_{dec})$. Esto es por los límites de integración de las respectivas integrales. Por un lado tenemos en $d_A^c(z_{dec})$ cuyos límites son entre 0 y 1090, esto hace que las variaciones en h dentro del denominador sean más significativas que para el horizonte del sonido donde sus límites son 1090 y ∞ . Esto hace que las variaciones en r_s no sean significativas mientras que para $d_A^c(z_{dec})$ sí que lo sean como muestra la siguiente **Tabla 2**.

```

1 R_ar=np.array([R(z_dec)]*3)
2 d_ar=np.array([d_A(h_p=h),d_A(h_p=0.5),d_A(h_p=0.8)])
3 r_ar=np.array([r_s(h_p=h),r_s(h_p=0.5),r_s(h_p=0.8)])
4 dic={'R(z_{dec})$':R_ar,"$d_A^c(z_{dec})$":d_ar,"$r_s$":r_ar}
5 tabla=pd.DataFrame(dic)
6 tabla

```

$R(z_{dec})$	$d_A^c(z_{dec})$	r_s
0.612847	14002.470920	145.327004
0.612847	11022.872357	145.327004
0.612847	16134.698481	145.327004

Cuadro 2: Tabla de las variaciones de h

4. Ejercicio 4

Estudiar la dependencia del espectro con ω_b . Considerar, aparte del valor estándar, $\omega_b = 0,01$ y $\omega_b = 0,04$ con el resto de parámetros fijos. Comprobar que aumentar ω_b incrementa los picos impares y disminuye los pares. Explicar este efecto en términos de lo visto en la cuestión 2.

De manera similar a antes procedemos a ver las modificaciones que sufre C_l cuando modificamos la cantidad de densidad de energía de bariones. (Figura 6).

```

1 w_b1=0.01
2 w_b2=0.04
3
4 paso=3
5 wb_array=np.array([w_b,w_b1,w_b2])
6
7 plt.figure(figsize=(10,7))
8 dA= d_A()
9
10 d_arr=np.array([dA]*3)
11 R_arr=np.zeros(3)
12 r_arr=np.zeros(3)
13 for j in range(0,paso):
14     l_minimo=100
15     l_maximo=1501
16     l_array=np.array(range(l_minimo,l_maximo))
17     longitud=len(l_array)
18     cl=np.zeros(longitud)
19     i=0
20     Rz=R(z_dec,wb=wb_array[j])
21     rs=r_s(wb=wb_array[j])
22     for l in l_array:
23         valor=c_l_funcion(l,Rz,dA,rs)
24         cl[i]=valor*l*(l+1)/(2*np.pi)
25         i+=1
26     R_arr[j]=Rz
27     r_arr[j]=rs
28     plt.plot(l_array,cl*10**12,label="$\omega_b={:.2f}$".format(wb_array[j]))
29

```

```

30 plt.title("Espectro Angular de Temperaturas, Variacion en  $\omega_b$ ", fontsize=20)
31 plt.ylabel(" $l(l+1)C_l/2\pi$  [ $\mu K^2$ ]", fontsize=16)
32 plt.xlabel("Multipole moment,  $l$ ", fontsize=16)
33 plt.legend()
34 plt.savefig("Espec_wb.png")
35 plt.show()
36 plt.close()

```

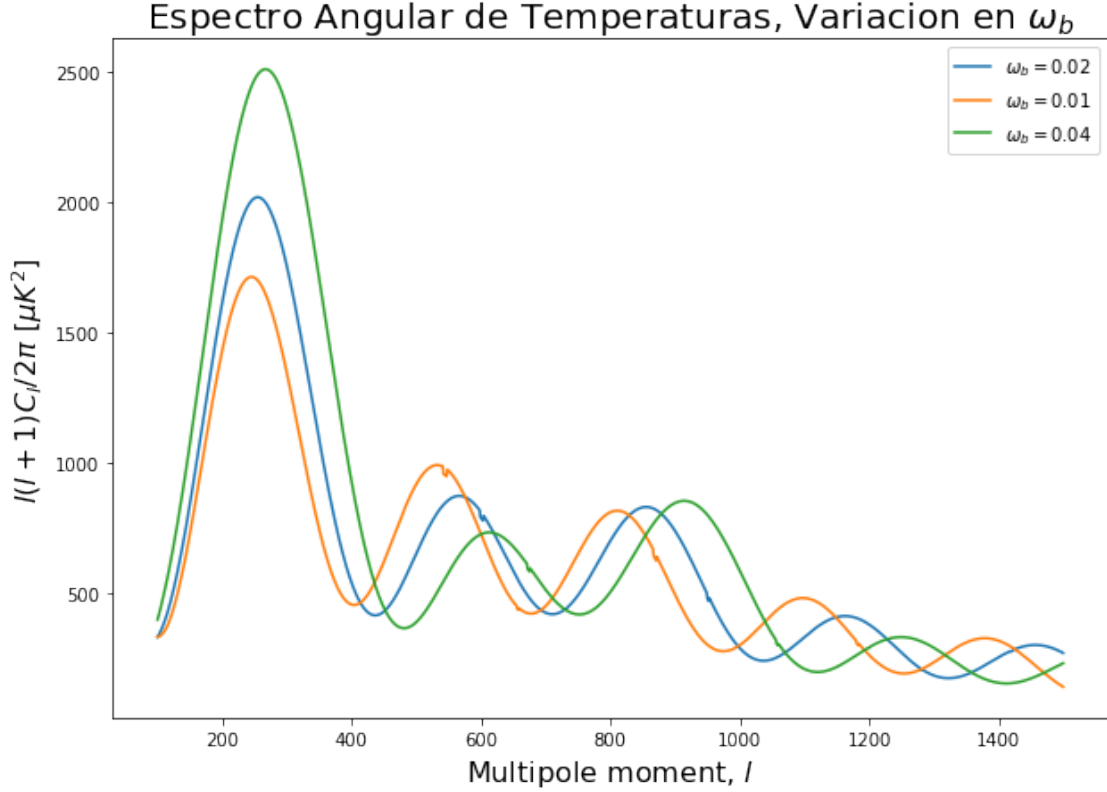


Figura 6: Espectro angular de Temperaturas del CMB variando ω_b

Al igual que ocurría en el ejercicio 2 cuando variamos el valor de $R(z_{dec})$ los picos de las anisotropías de temperatura del CMB varían en su magnitud, creciendo en el caso de los picos impares y decreciendo en los picos pares. Esto ocurre ya que al variar el valor de ω_b estamos modificando el valor de $R(z, \omega_b) = \omega_b \cdot 3,04 \times 10^4 / (1+z)$. Por otro lado vemos una variación en la posición de los picos a diferencia que en el ejercicio 2, esto es porque al variar ω_b estamos modificando también el valor de c_s del cual depende r_s . Estas modificaciones origina una traslación de los picos a la derecha según aumenta r_s , al igual que pasaba en el ejercicio 2. Dichas variaciones en estos parametros las podemos observar en la siguiente **Tabla 3**

$R(z_{dec})$	$d_A^c(z_{dec})$	r_s
0.612847	14002.47092	145.327004
0.278567	14002.47092	153.797226
1.114267	14002.47092	135.476638

Cuadro 3: Valores de $R(z_{dec})$, $d_A^c(z_{dec})$ y r_s

5. Ejercicio 5

Estudiar la dependencia del espectro con n_s . Considerar, aparte del valor estándar, $n_s = 0,7$ y $n_s = 1,2$ con el resto de parámetros fijos. Determinar el multipolo l correspondiente a la escala del pivote k_0 y explicar el efecto.

Empezaremos igual que en los ejercicios anteriores y marcaremos el multipolo correspondiente a k_0 con una línea vertical. Hay que fijarse, dado que n_s solo aparece en P_R dentro de la aproximación de C_l , para el multipolo. (Figura 7)

```
1  paso=3
2
3  ns_1=0.7
4  ns_2=1.2
5  ns_array=np.array([ns,ns_1,ns_2])
6
7  plt.figure(figsize=(10,7))
8  dA =d_A()
9  rs=r_s()
10 Rz=R(z_dec)
11
12 l_0=k_0*dA
13
14 l_M=0
15 l_m=50000
16 for j in range(0,paso):
17     l_minimo=100
18     l_maximo=1501
19     l_array=np.array(range(l_minimo,l_maximo))
20     longitud=len(l_array)
21     cl=np.zeros(longitud)
22     i=0
23     for l in l_array:
24         valor=c_l_funcion(l,Rz,dA,rs,ns_array[j])
25         constante=4*np.pi*9/25
26         cl[i]=valor*1*(l+1)/(2*np.pi)
27         i+=1
28
29     if np.max(cl*10**12)>l_M :
30         l_M=np.max(cl*10**12)
31     if np.min(cl*10**12)<l_m :
32         l_m=np.min(cl*10**12)
33
34     plt.plot(l_array,cl*10**12,label="$n_s={:.2f}$".format(ns_array[j]))
35
36 vy=np.linspace(l_m,l_M,1000)
37 vx=np.ones(1000)*l_0
38 plt.plot(vx,vy,'r:',label="$l_0\\sim k_0 d_A^c(z_{dec})$")
39 plt.annotate("$l_0={:.2f}$".format(l_0),(l_0+10,l_M-100),fontsize=16)
40 plt.title("Espectro Angular de Temperaturas, Variacion en $n_s$", fontsize=20)
41 plt.ylabel("$l(l+1)C_{l/2\\pi}\\ [\\mu K^2]$", fontsize=16)
42 plt.xlabel("Multipole moment, $l$", fontsize=16)
43 plt.legend()
44 plt.savefig("Espec_ns.png")
45 plt.show()
46 plt.close()
```

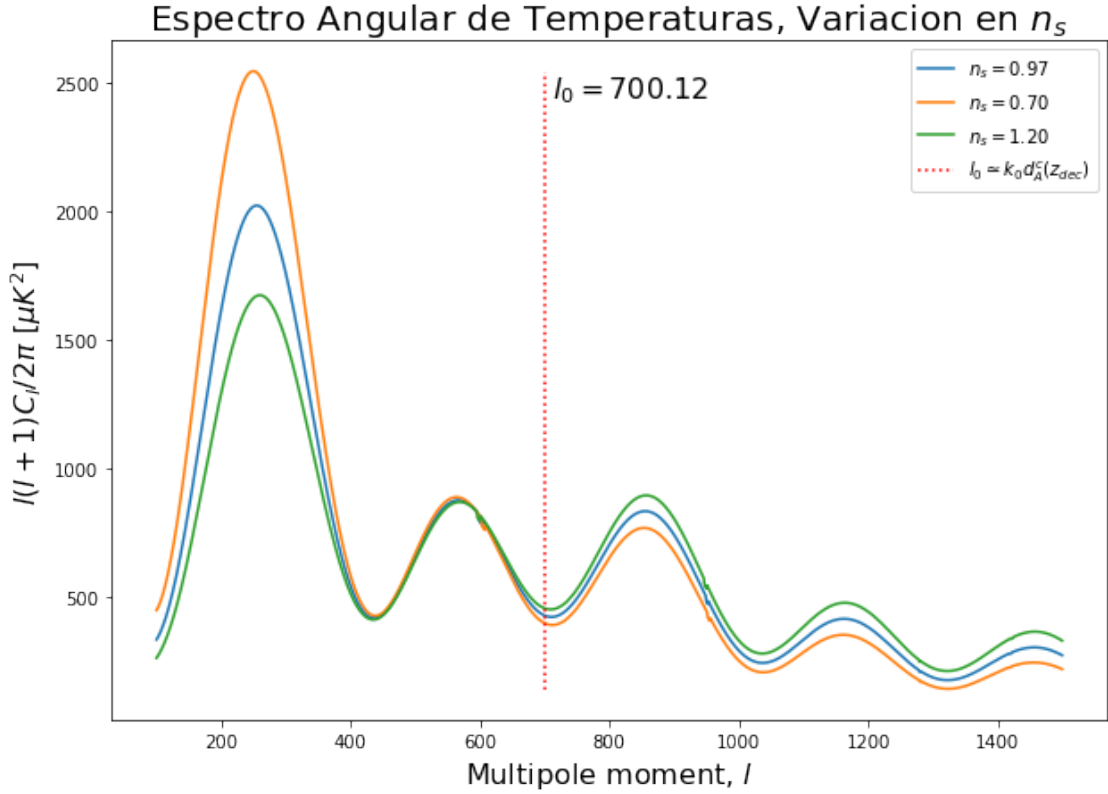


Figura 7: Espectro angular de Temperaturas del CMB variando n_s

Observamos que la posición de los picos no varía, solo su magnitud. Para un valor menor de n_s el primer pico es superior en magnitud, pero a medida que aumenta l se hacen más pequeños con respecto a las anisotropías de T del CMB para n_s superiores.

Por otro lado parece que vemos que a partir de $l > l_0$ los picos con un mayor n_s empiezan a ser superiores que los de n_s menores. Veamos posibles explicaciones a esto analizando primero la función del espectro de potencias. Sea $n_1 > n_2 > 0$ entonces definiendo $P_R^i(k) = P_R(k, n_s = n_i)$ tenemos:

$$P_R^1(k) - P_R^2(k) = A_s \left[\left(\frac{k}{k_0} \right)^{n_1-1} - \left(\frac{k}{k_0} \right)^{n_2-1} \right] = \begin{cases} \leq 0 & \text{si } k \leq k_0 \\ < 0 & \text{si } k < k_0 \end{cases}$$

Por otro lado si tomamos un $l > l_0$ y si definimos $C_l^i = C_l(n_s = n_i)$ tenemos que:

$$C_l^1 - C_l^2 = 4\pi \frac{9}{25} \int [P_R^1(k) - P_R^2(k)] j_l^2(k \cdot d_A^c(z_{dec})) F(k) dk$$

donde $F(k) = [-R(z_{dec})T(k/k_{eq}) + \frac{5}{3} \cos(k \cdot r_s)]^2 / k$. Dado que $l > l_0$ tenemos que si $l \simeq k_l d_A^c(z_{dec})$ entonces $k_l > k_0$ y la función de Bessel esférica de la ecuación va a responder:

$$j_l^2(k \cdot d_A^c(z_{dec})) = \begin{cases} [4k^2 d_A^c(z_{dec})^4 (k^2 - k_l^2)]^{-1/2} & k > k_l \\ 0 & k < k_l \end{cases}$$

Es decir para k menores a k_0 la función de Bessel se anulara mientras que para $k > k_l > k_0$ la función será siempre positiva. Por tanto, combinando con el resultado de la función del espectro de potencias tenemos:

$$C_l^1 - C_l^2 = 4\pi \frac{9}{25} \int_{k_l}^{\infty} \frac{P_R^1(k) - P_R^2(k)}{2kd_A^c(z_{dec})^2 \sqrt{k^2 - k_l^2}} \cdot F(k) dk > 0$$

Podemos observar en la imagen que a partir de $l > l_0$ las líneas nunca se cortan y la magnitud siempre es mayor para los n_s mayores, tal como indica el resultado que acabamos de desarrollar.

Por otro cuando $l < l_0$ obtenemos el efecto contrario. Dado que la función de Bessel esférica para $x > l$ se tiene que $j_l^2(x) \rightarrow 0$ cuando $x \rightarrow \infty$ tenemos que los primeros $k < k_l < k_0$ pesan más en la integral, donde:

$$P_R^1(k) - P_R^2(k) < 0$$

De esta manera cuando $l < l_0$ se tiene que $C_l^1 < C_l^2$ llegando a tener valores más altos de C_l cuanto más pequeño es n_s , tal y como vemos.